



Semnan University

**Journal of Applied Chemistry**Journal homepage: <https://chemistry.semnan.ac.ir/>*Research Article*

# Synthesis and characterization of cyclometalated Pd(II) complex bearing tyrosine: Experimental and theoretical study of interaction with biomacromolecules

**Sedigheh Abedanzadeh<sup>a,\*</sup> , Mahsa Khaghani Azar<sup>a</sup>, Bagher Davaeil<sup>b</sup>**<sup>a</sup>*Department of Chemistry, Kharazmi University, Tehran, Iran*<sup>b</sup>*Institute of Biochemistry and Biophysics, University of Tehran, Tehran, Iran*

---

**PAPER INFO***Article history:**Received: 17/May/2023**Revised: 15/Jul/2023**Accepted: 17/Jul/2023***Keywords:**

Palladacycle, Aminoacid, DNA, BSA, Molecular docking

---

**ABSTRACT**

Considering the important role of bioactive ligands in designing antitumor complexes, mononuclear C<sup>4</sup>C-cyclometalated Pd (II) complex containing amino acid, tyrosine, was synthesized and identified using Fourier-transform infrared (FT-IR) and nuclear magnetic resonance (NMR) spectroscopic methods. The interaction of the synthesized mononuclear complex with the biomacromolecules, deoxyribonucleic acid (DNA) and bovine serum albumin (BSA), was studied by UV-Vis absorption and fluorescence emission. Based on the experimental studies, an intercalating mode was proposed for the interaction between the complex and DNA. The UV-Vis absorption and fluorescence emission spectroscopies indicated the high affinity of the complex for BSA binding. Molecular docking calculations revealed that the hydrophobic interactions play important roles in complex – BSA binding.

DOI: <https://doi.org/10.22075/CHEM.2023.30417.2176>

---

© 2023 Semnan University.This is an open access article under the CC-BY-SA 4.0 license. (<https://creativecommons.org/licenses/by-sa/4.0/>)

---

\* Corresponding author: Assistant Professor of Inorganic Chemistry. Email address: abedanzadeh@khu.ac.ir

How to cite this article: Abedanzadeh, S., Khaghani Azar, M., & Davaeil, B. (2023). Synthesis and characterization of cyclometalated Pd (II) complex bearing tyrosine: Experimental and theoretical study of interaction with biomacromolecules. *Applied Chemistry*, 18(68), 217-234. (in Persian)

## ستنتز و شناسایی کمپلکس سیکلومتاله پالادیوم (II) حاوی لیگاند تیروزین: مطالعات

### تجربی و نظری برهمکنش با ماکرومولکول های زیستی

صدیقه عابدان زاده<sup>۱</sup>، مهسا خاقانی آذر<sup>۱</sup>، باقر دوائیل<sup>۲</sup>

<sup>۱</sup>دانشکده شیمی، دانشگاه خوارزمی، تهران، ایران  
<sup>۲</sup>مرکز تحقیقات بیوشیمی و بیوفیزیک، دانشگاه تهران، تهران، ایران

تاریخ دریافت: ۰۲/۰۲/۲۷ تاریخ تصحیح: ۰۲/۰۴/۲۶ تاریخ پذیرش: ۰۲/۰۴/۲۴

#### چکیده

با توجه به اهمیت لیگاندهای زیست فعال در طراحی و ساخت ترکیبات با ویژگی خصلتوموری، کمپلکس تک هسته‌ای  $C^{13}C$ -سیکلومتاله پالادیوم (II) فسفر ایلید حاوی آمینواسید تیروزین سنتز شد و با استفاده از روش‌های طیف سنجی مادون قرمز (FT-IR) و رزونانس مغناطیسی هسته ( $^{15}N$  NMR) مورد شناسایی قرار گرفت. برهمکنش کمپلکس تک هسته‌ای سنتز شده با ماکرومولکول های حیاتی دئوکسی ریبونوکلئیک اسید (DNA) و سرم آلبومین گاوی (BSA)، به وسیله تکنیک‌های تجربی طیف سنجی جذب مرئی- فرابنفش (UV-Vis) و طیف سنجی نشر فلورورسانس مورد مطالعه قرار گرفت. مطالعات تجربی نشان دهنده برهمکنش از نوع اینترکلیشن میان کمپلکس و DNA/BSA است. نتایج حاصل از روش‌های طیف سنجی جذب مرئی- فرابنفش و نشر فلورورسانس نشان دهنده برهمکنش قابل توجه میان کمپلکس و پروتئین BSA/BSA است. همچنین، طبق نتایج حاصل از محاسبات داکینگ مولکولی، کمپلکس به جایگاه‌های آب‌گیریز پروتئین BSA/اتصال یافته است.

**کلمات کلیدی:** پالاداسیکل، آمینواسید، DNA، BSA، داکینگ مولکولی.

#### ۱- مقدمه

سرطان سالانه باعث مرگ تقریباً ده میلیون نفر در سراسر جهان می‌شود [۱]. نیمی از بیماران سرطانی با استفاده از داروهای ضدسرطان برپایه پلاتین مانند سیسپلاتین، کربوپلاتین و اگزالی پلاتین که از مهم‌ترین داروهای شیمی‌درمانی هستند تحت درمان قرار می‌گیرند [۲]. استفاده از سیسپلاتین و مشتقان نسل دوم و سوم آن، بهدلیل بروز عوارض جانبی غیرقابل چشم‌پوشی روی کبد، کلیه، مغز و مشکل ذاتی یا ایجاد مقاومت در برخی از انواع تومورها محدود شده است [۳]. برای غلبه بر محدودیت‌های شناخته شده داروهای ضدسرطان، در سال‌های اخیر تلاش‌ها بر روی طراحی و ساخت کمپلکس‌های فلزی متنوع با کارایی بیشتر و عوارض کمتر متمرکز شده است [۴-۸]. بهدلیل شباهت شیمی‌کوئوردیناسیون پالادیوم با پلاتین، پژوهش‌هایی بر روی طراحی کمپلکس‌های پالادیوم و کاربرد آن‌ها به عنوان داروهای ضدسرطان صورت گرفته است [۹-۱۱]. فعالیت زیستی قابل توجه برخی از این ترکیبات در شرایط درون‌تنی و برون‌تنی نسبت به سیسپلاتین در برابر چندین رده سلول سرطانی و همچنین نحوه عملکرد آن‌ها، دلایل اصلی افزایش محبوبیت ترکیبات پالادیوم در حوزه دارو و درمان هستند [۱۲].

کمپلکس‌های سیکلومتاله یک خانواده مهم از ترکیبات آلی فلزی هستند. از کاربردهای برجسته کمپلکس‌های سیکلومتاله می‌توان به استفاده از آن‌ها در حوزه‌های مرتبط با سنتز [۱۳-۱۶]، کاتالیست [۲۲-۱۷]، علم مواد [۲۴ و ۲۳] و علوم زیستی [۲۵ و ۲۶] اشاره کرد. در واکنش سیکلومتاله شدن، عموماً طی اتصال هتروatom در لیگاند معین و در ادامه با ایجاد یک پیوند درون مولکولی، حلقه کی لیت دارای پیوند سیگما فلز-کربن شکل خواهد گرفت. در کمپلکس‌های سیکلومتاله، تشکیل حلقه کی لیت طی واکنش سیکلومتاله شدن منجر به پایداری قابل توجه در کمپلکس خواهد شد. از آن جاکه در محیط‌های زیستی انواع مولکول‌ها با قدرت کوئورینه‌شوندگی و واکنش‌پذیری متفاوت موجود است، از دید ساختاری کمپلکس‌های سیکلومتاله گزینه‌های ارزشمندی برای طراحی داروهای بر پایه فلز محسوب می‌شوند. از همین‌رو، در سال‌های اخیر مطالعاتی در زمینه کاربرد زیستی این ترکیبات توسط گروه‌های تحقیقاتی مختلف به چاپ رسیده‌است [۲۷-۲۹].

با توجه به نوع هترواتم، لیگاندهای متنوعی در طراحی و سنتر کمپلکس‌های سیکلومتاله مورد بررسی واقع شده‌اند [۳۰]. یکی از مهم‌ترین انواع لیگاندهای سیکلومتاله، ایلیدها هستند. ایلید، کربانیونی است که به صورت مستقیم به هترواتم با قراردادی مثبت پیوند یافته‌است و این بار مثبت ناشی از تعداد پیوندهای سیگما میان هترواتم و استخلاف‌های پیوندشده به آن می‌باشد. وجود بار منفی بر روی مرکز ایلیدی کربانیون، منبع بروز رفتار شیمیایی ایلید و در نتیجه توانایی در استفاده از آن‌ها به عنوان لیگاند در پیوند به فلزهای واسطه است. پایداری و واکنش‌پذیری کربانیون تحت تاثیر پارامترهای القایی و میزان غیرمستقری بار، متغیر خواهد بود. ایلیدها به دلایل فراوان از جمله تنوع ساختاری، روش‌های سنتر گوناگون، سهولت تغییر در خواص الکترونی و فضایی لیگاند، به طور فراوان در شیمی آلی فلزی مورد استفاده قرار می‌گیرند [۳۱].

کمپلکس‌های فلزات واسطه در بدن موجود زنده عموماً به‌وسیله برهمنکش با DNA سلول سرطانی، موجب مرگ آن می‌گردد [۳۲-۳۴]. لازم به ذکر است که مولکول DNA در برابر ترکیبات گوناگون مکان‌های پیوندی متنوعی را پیشنهاد می‌کند. با توجه به مقالات منتشر شده، کمپلکس‌های کوئوردیناسیون قادر هستند به شیوه‌های برگشت ناپذیر (پیوند کووالانسی یا کوئوردینانسی) و برگشت‌پذیر (تجمع بین مولکولی) به DNA پیوند یابند. از سوی دیگر، آلبومین-پروتئین محلول در آب که در بدن انسان از نظر مقدار و کارکرد از مهم‌ترین مواد درون پلاسمما می‌باشد- در سیستم گردش خون بهویژه از نظر حمل دارو، نقش مهمی را ایفا می‌کند. این پروتئین دارای دو جایگاه اصلی برای پیوند دارو می‌باشد. در سال ۱۹۷۵ سادلو و همکارانش نشان دادند که اکثر داروها به یکی از این دو ناحیه بر روی این پروتئین با تمایل بالا پیوند می‌یابند که این دو ناحیه را جایگاه I یا جایگاه II پیوندی وارفارین و جایگاه II یا جایگاه II پیوندی ایندول یا بنزو دیازپین می‌نامند [۳۵].

با توجه به اهمیت ساختاری کمپلکس‌های سیکلومتاله در طراحی کمپلکس‌های فلزی با ویژگی ضدتوموری [۳۶] و همچنین اهمیت استفاده از گروههای دارای فعالیت و سازگاری زیستی در طراحی کمپلکس‌های فلزی، در تحقیق حاضر کمپلکس سیکلومتاله پالادیوم (II) فسفرایلید حاوی آمینواسید طبیعی تیروزین به عنوان یک لیگاند زیستفعال سنتز شد و مورد شناسایی

قرار گرفت. در ادامه، مطالعه تجربی و نظری برهمکنش کمپلکس با ماکرومولکول های زیستی DNA و پروتئین BSA مورد بررسی قرار گرفت.

## ۲- بخش تجربی

### ۲-۱- مواد شیمیایی و دستگاه های دستگاه

مواد اولیه و حلال های مورد استفاده در این تحقیق همه از شرکت های Sigma و Merck تهیه شدند. تریس هیدروکلرید، DNA ماهی سالمون و پروتئین آلبومین سرم گاوی BSA نیز از شرکت Sigma خریداری شدند. در تمام مراحل از آب مقطر دیونیزه برای تهیه محلول های آبی مورد نیاز استفاده شد. ترکیب دوهسته ای سیکلومتاله پالادیوم (II) لیگاند فسفرایلید دارای پل کلرید، RXI FT-IR مطابق روش ارائه شده در مرجع سنتز شده است [۳۷]. طیف های مادون قرمز FT-IR با استفاده از دستگاه Perkin-Elmer 2400 به صورت قرص های KBr و بر حسب فرکانس در واحد عدد موج ( $\text{cm}^{-1}$ ) ثبت گردیدند. طیف های رزونانس مغناطیسی چند هسته ای  $^1\text{H}$  NMR و  $^{31}\text{P}\{\text{H}\}$  NMR به وسیله دستگاه Bruker DRX AVANCE به ترتیب با قدرت ۴۰۰ و ۱۶۱ مگاهرتز ثبت شدند. برای ثبت طیف های جذب الکترونی مرئی- فرابنفش UV-Vis از دستگاه SPECORD ۲۱۰ PLUS Analytikjena SHIMADZU RF-5301 و برای ثبت طیف های نشر فلورسانس از دستگاه TIRUZIN حاوی لیگاند فسفرایلید استفاده گردید.

### ۲-۲- روش تهیه کمپلکس سیکلومتاله پالادیوم (II) فسفرایلید حاوی لیگاند تیروزین

به ظرف حاوی ۰/۰۱ گرم (۰/۰ میلی مول) کمپلکس دوهسته ای  $\text{C}^8\text{C}$ -سیکلومتاله پالادیوم (II) فسفرایلید دارای پل کلرید [۳۷] در ۰/۰۱ میلی لیتر حلal THF، ۰/۰۲۵ گرم (۰/۰ میلی مول) نقره (I) تری فلورورومتان سولفونات افزوده شد. پس از گذشت ۰/۰۴۵ دقیقه از شروع واکنش در دمای محیط و در شرایط به دور از نور، مخلوط واکنش بر روی منیزیم سولفات صاف گردید و به محلول زیر صافی ۰/۰۰۳۶ گرم (۰/۰ میلی مول) آمینو اسید تیروزین افزوده شد. پس از گذشت ۰/۰۴ ساعت، حلال واکنش تحت خلاء تبخیر شد و رسوب باقی مانده با دی اتیل اتر شسته شد و در نهایت خشک و جمع آوری گردید.

$[\text{Pd}\{\kappa^2(\text{C},\text{C})\text{-}[(\text{C}_6\text{H}_4\text{-}2)\text{PPh}_2]\text{CH}(\text{CO})\text{C}_6\text{H}_4\text{Ph}-4\}\{\kappa^2(\text{O},\text{N})\text{-NH}_2\text{CH}(\text{CH}_2\text{C}_6\text{H}_4\text{OH}-4)(\text{COO})\}]$   
Yield: 96.0 mg (63 %) IR (KBr,  $\text{cm}^{-1}$ ):  $\nu(\text{CO}) = 1620$ .  $^1\text{H}$  NMR (400 MHz,  $\text{CDCl}_3$ , ppm):  $\delta = 1.30$  (s, 2H,  $\text{NH}_2$ ), 2.00–3.50 {aliphatic region}, 5.20 (d, 1H, CHP,  $^2J_{\text{HP}} = 4.5$  Hz), 6.50–8.50 {aromatic region}.  
 $^{31}\text{P}\{\text{H}\}$  NMR (161.97 MHz,  $\text{CDCl}_3$ , ppm):  $\delta = 17.00$  (1P, CHP).

### ۳-۲- برهمکنش کمپلکس سیکلومتاله پالادیوم (II) فسفرایلید حاوی لیگاند تیروزین با DNA

بررسی برهمکنش کمپلکس با DNA با استفاده از تغییرات در طیف جذبی مرئی- فرابنفش صورت گرفته است. غلظت محلول DNA، با توجه به این که ضریب جذب مولی برای DNA برابر  $6600 \text{ M}^{-1} \text{ cm}^{-1}$  می باشد، با استفاده از طیف جذب الکترونی آن مشخص گردید. جهت اطمینان از خلوص محلول DNA، جذب در ۲۶۰ نانومتر نسبت به ۲۸۰ نانومتر برابر با ۱/۸۹ محاسبه

گردید که نشان دهنده عدم حضور پروتئین در محلول DNA می باشد. آزمایش ها در دمای اتاق و در محیط بافر Tris-HCl ۵ میلی مolar و ۵۰ میلی مolar با pH ۷/۴ انجام گرفتند. برای تهیه محلول اصلی کمپلکس، ۱ درصد حجمی / حجمی از DMSO به محلول با فراضافه گردید. هم چنین، محلول هایی با غلظت های متفاوت از DNA ساخته شد و آماده استفاده برای بررسی برهمنکش با کمپلکس گردید. محلول DNA قبل از هر آزمایش به صورت تازه تهیه شد. در این آزمایش، محلول  $M \times 10^{-5} \times ۵/۰$  از کمپلکس با غلظت ثابت بوسیله محلول DNA با غلظت های متغیر  $M \times ۱۰۰ \times ۰ - ۱۰۰$  تیتر شد.

#### ۴-۲- برهمنکش کمپلکس تک هسته ای سیکلومتاله پالادیوم (II) حاوی لیگاند تیروزین با پروتئین BSA

برهمنکش کمپلکس با پروتئین BSA در دمای اتاق بوسیله دستگاه های طیف سنج جذب الکترونی و نشر فلورسانس انجام شد. محلول پروتئین از حل کردن پروتئین BSA در محیط بافر Tris-HCl ۵ میلی مolar و ۵۰ میلی مolar با pH ۷/۴ ساخته شد. در روش جذب الکترونی، برای بررسی برهمنکش کمپلکس با پروتئین BSA ، نخست محلول پروتئین BSA با غلظت مشخص ۵ میکرومolar تهیه و طیف جذبی آن ثبت شد. در ادامه، مقادیر متفاوتی از کمپلکس به آن اضافه شد و تغییرات در طیف جذب پروتئین BSA ثبت گردید. در روش نشر فلورسانس، برای بررسی برهمنکش کمپلکس با پروتئین BSA ، نخست طیف نشی محلول پروتئین BSA با غلظت مشخص ۵ میکرومolar ثبت گردید. در مرحله بعد محلول هایی با غلظت های متغیر از کمپلکس با نسبت های مولی مشخص به پروتئین BSA اضافه گردید و تغییرات در طیف فلورسانس ثبت گردید.

#### ۴-۳- محاسبات داکینگ مولکولی

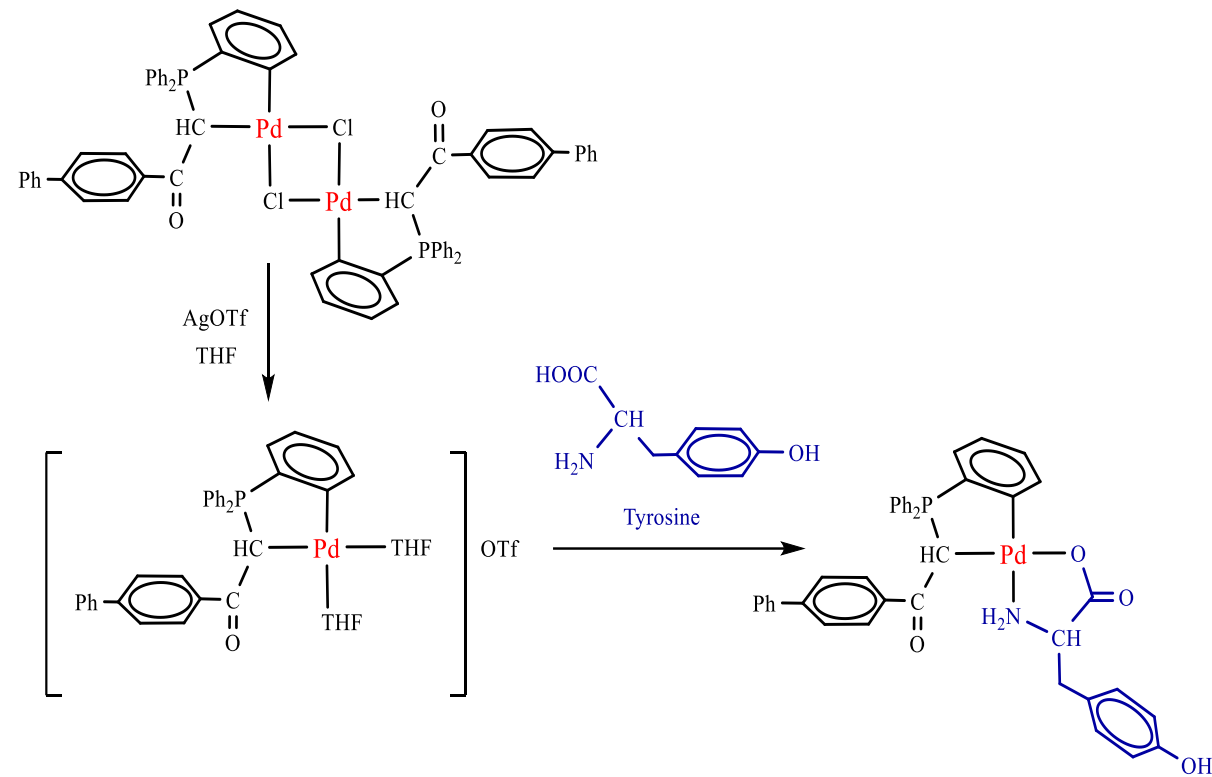
جهت بررسی محل احتمالی اتصال و روشن شدن مکانیسم اتمی اتصال کمپلکس فلزی بر روی پروتئین BSA شبیه سازی داکینگ مولکولی با استفاده از نرم افزار اتوکار ۴/۲ انجام گرفت [۳۸]. ساختار سه بعدی پروتئین از RCSB protein BSA از [۳۹] گرفته شد. ساختمان سه بعدی کمپلکس فلزی توسط نرم افزار ChemDraw 21.0.0.28 رسم شد و سپس فرمت pdb آن از طریق سایت (<http://www.rcsb.org>) به آدرس data bank (3V03) openable (<http://www.cheminfo.org>) آنرا آزاد کرد. در این مرحله ساختار مولکولی ایجاد شده توسط نرم افزار HyperChem 8.0.6 بهینه (از نظر انرژی و ممانعت های فضایی) شد [۴۰]. با توجه به اینکه اطلاعات خاصی از محل اتصال کمپلکس فلزی بر روی BSA در دسترس نبود، ابتدا یک داکینگ کور (blind docking) انجام شد تا طی فرایند داکینگ تمامی موقعیت های احتمالی اتصال پیش بینی شده و امتیاز بندی گردد. در مرحله دوم داکینگ مت مرکز انجام شد به این صورت که تنها بخش هایی از پروتئین در جعبه (باکس) شبیه سازی داکینگ تعریف شد که دارای کمترین میزان انرژی اتصال و به عبارتی بهترین موقعیت های اتصال به دست آمده از داکینگ کور (مرحله اول) بودند. بنابراین جعبه ای با ابعاد ۱۲۶، ۱۱۶، ۱۲۶ (x, y, z) با grid spacing ۰/۳۹ آنگستروم ایجاد شد [۴۱].

برنامه LigPlot 2.2.8 جهت بررسی برهمنکنش و نرم افزار PyMOL 2.5.5 برای نمایش گرافیکی محل اتصال کمپلکس فلزی استفاده شد.

### ۳- بحث

#### ۱- سنتز و شناسایی کمپلکس سیکلومتاله پالادیوم (II) فسفر ایلید حاوی لیگاند تیروزین

در نتیجه رفلکس کمپلکس دوهسته‌ای  $C^{13}$ -سیکلومتاله پالادیوم (II) فسفر ایلید دارای پل کلرید با آمینواسید طبیعی تیروزین به نسبت استوکیومتری ۱:۲، کمپلکس تک هسته‌ای سیکلومتاله پالادیوم (II) حاوی لیگاند تیروزین تشکیل می‌گردد (شکل ۱). کمپلکس تک هسته‌ای سنتز شده، به وسیله روش‌های طیف‌سنجدی مادون قرمز (FT-IR) و رزونانس مغناطیسی هسته (NMR) به خوبی مورد شناسایی قرار گرفت.



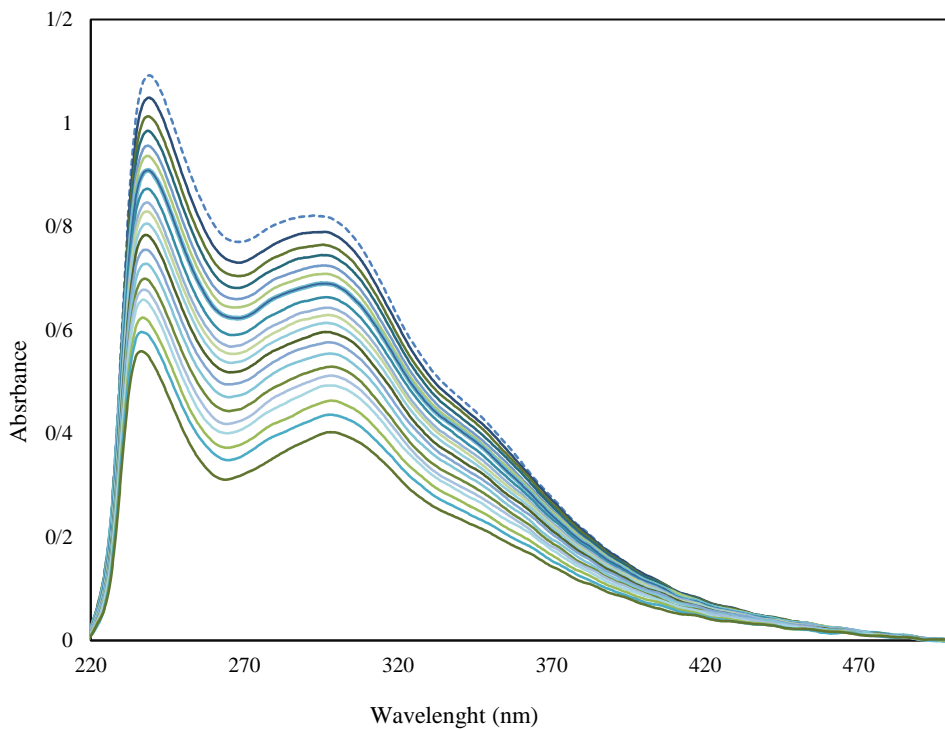
شکل ۱. طرح کلی سنتز کمپلکس تک هسته‌ای سیکلومتاله پالادیوم (II) فسفر ایلید حاوی لیگاند تیروزین

بر اساس نتایج بدست آمده از طیف‌سنجدی مادون قرمز، فرکانس کششی مربوط به گروه آمین و گروه کربونیل آمینواسید در کمپلکس تک هسته‌ای به ترتیب در بازه  $3200-3350\text{ cm}^{-1}$  و  $1610-1620\text{ cm}^{-1}$  ظاهر می‌شود. طیف  $^1\text{HNMR}$  ترکیب سنتز شده، شامل پروتون‌های لیگاند فسفر ایلید و آمینواسید تیروزین می‌باشد. تغییر موقعیت و جابه‌جایی شیمیایی پروتون‌ها در کمپلکس نسبت به لیگاند آزاد ناشی از کوئوردینه‌شدن لیگاند به یون فلزی است. در طیف  $^1\text{HNMR}$  این ترکیب، سیگنال‌های مربوط به پروتون گروه‌های متین ( $\text{CH}_2$ ) و متیلن ( $\text{CH}_2$ ) در آمینواسید به صورت چندتایی در ناحیه  $2/00-3/50\text{ ppm}$  و پروتون

ایلیدی در محدوده ناحیه ۵/۰۰ ppm به علت جفتشدن با فسفر به صورت دوتایی ظاهر می‌شود [۴۲ و ۳۷]. جایه‌جایی شیمیایی سیگنال پروتون ایلیدی به میدان‌های پایین‌تر به علت کوئورده شدن ایلید به فلز مرکزی و انتقال بار به سمت یون فلزی می‌باشد [۴۲ و ۳۷]. در نتیجه کاهش چگالی الکترونی روی حلقه‌های آروماتیک، پروتون‌های لیگاند، ناپوشیده و به سمت میدان‌های پایین‌تر جابه‌جا شده‌اند. در ناحیه ۶/۵-۸/۵ ppm سیگنال‌های مربوط به پروتون‌های آروماتیک در لیگاند فسفر ایلید و آمینواسید تیروزین ظاهر گردیده‌اند.

### ۲-۳- برهمکنش کمپلکس سیکلومتاله پالادیوم (II) فسفر ایلید حاوی لیگاند تیروزین با DNA

کمپلکس‌های فلزی می‌توانند به محل‌های متفاوت بر روی رشته‌های DNA کوئورده‌نیه و باعث تخریب DNA شوند. برهمکنش کمپلکس‌ها با DNA به دو گروه اصلی برگشت‌ناپذیر (پیوند کوالانسی) و برگشت‌پذیر (پیوند‌های غیرکوالانسی) تقسیم می‌شود. برهمکنش‌های غیرکوالانسی خود به سه دسته الکتروستاتیک، شیاری و اینترکلیشن طبقه‌بندی می‌شوند. نوع اتصال به رشته‌های DNA به ویژگی‌های ساختاری کمپلکس فلزی وابسته می‌باشد [۴۳]. در این تحقیق، افزایش غلظت DNA منجر به کاهش در جذب (پدیده هیپوکرومیک)، همراه با جایه‌جایی به سمت طول موج پایین‌تر (انتقال به آبی) در کمپلکس گردید. با توجه به تحقیقات پیشین [۲۷]، تغییرات مشاهده شده در طیف‌های جذبی برهمکنش اینترکلیشن میان کمپلکس و DNA را نشان می‌دهد. طیف جذبی کمپلکس در حضور و در غیاب DNA در شکل ۲ نشان داده شده است.

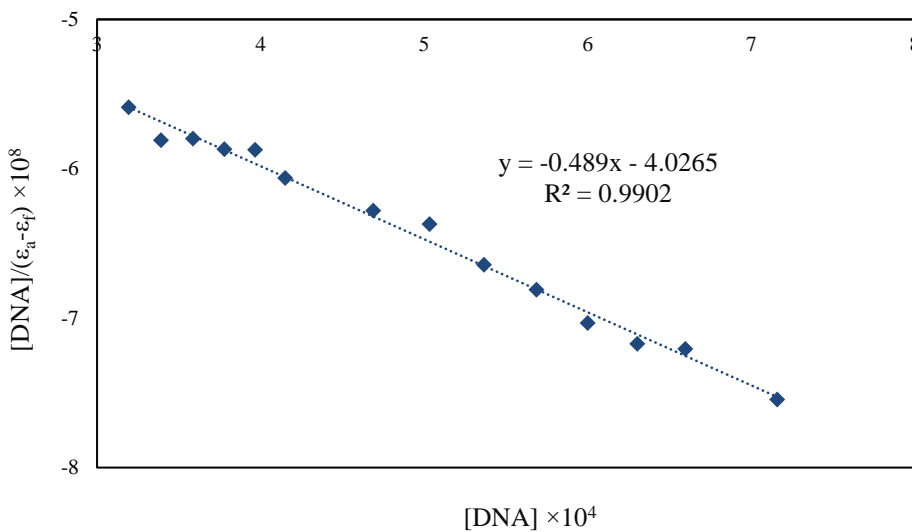


شکل ۲. طیف جذبی کمپلکس با افزایش غلظت DNA

به منظور نشان دادن قدرت برهمنکنش کمپلکس با DNA، ثابت پیوند ذاتی ( $K_b$ ) از طریق معادله لولف (معادله ۱) برای کمپلکس به دست می آید.

$$[\text{DNA}] / (\varepsilon_a - \varepsilon_f) = [\text{DNA}] / (\varepsilon_b - \varepsilon_f) + 1 / K_b (\varepsilon_b - \varepsilon_f) \quad \text{معادله ۱}$$

در معادله فوق،  $[\text{DNA}]$  عبارت است از غلظت DNA در جفت بازها و  $\varepsilon_a$  و  $\varepsilon_b$  به ترتیب ضریب جذب متناسب با  $A_{\text{obs}} / [\text{complex}]$ ، ضریب جذب کمپلکس آزاد و ضریب جذب کمپلکس پیوند یافته به DNA می باشند. با رسم نمودار  $[\text{DNA}] / (\varepsilon_a - \varepsilon_f)$  در مقابل  $[\text{DNA}]$ ، مقدار ثابت پیوند ذاتی کمپلکس  $K_b$  از نسبت شیب به عرض از مبدأ نمودار معادل با  $1/2 \times 10^3 \text{ M}^{-1}$  به دست آمد (شکل ۳).



شکل ۳. نمودار  $[\text{DNA}] / (\varepsilon_a - \varepsilon_f)$  نسبت به  $[\text{DNA}]$

با استفاده از مقدار ثابت پیوند ذاتی می توان انرژی آزاد گیبس ( $\Delta G$ ) برای اتصال کمپلکس به DNA را به وسیله معادله ۲ بدست آورد.

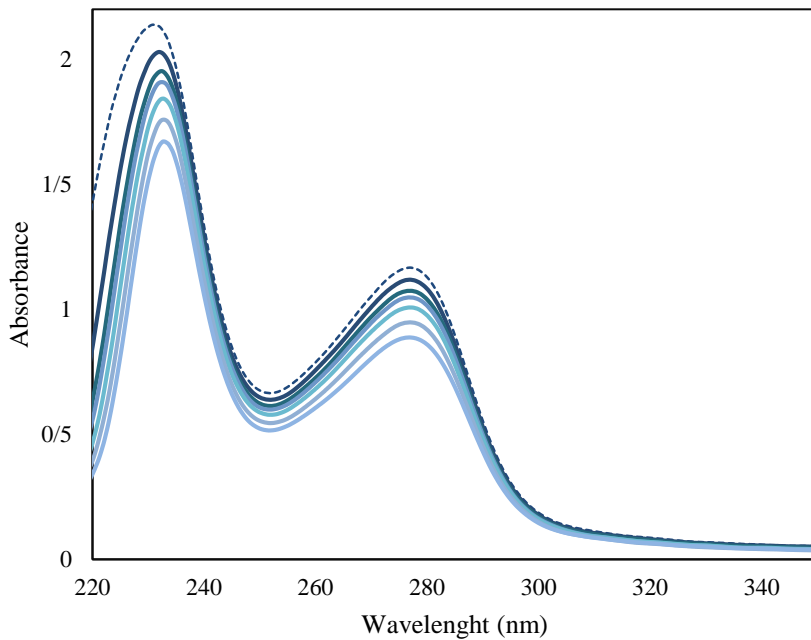
$$\Delta G = -RT \ln K_b \quad \text{معادله ۲}$$

ثابت پیوند ذاتی  $K_b$ ، مقیاسی برای اندازه گیری پایداری اتصال کمپلکس به DNA و انرژی آزاد گیبس، نشان دهنده خود به خودی یا غیر خود به خودی بودن برهمنکنش کمپلکس با DNA می باشد. مقدار  $\Delta G$  برای کمپلکس برابر با  $-4/224$  کیلو کالری بر مول محاسبه گردید که نشان دهنده خود به خودی بودن برهمنکنش کمپلکس با DNA است.

### ۳-۳-۳- برهمنکنش کمپلکس سیکلومتاله پالادیوم (II) حاوی لیگاند تیروزین با پروتئین BSA

#### ۳-۳-۱- بررسی برهمنکنش کمپلکس با پروتئین BSA با استفاده از طیف سنجی UV-Vis

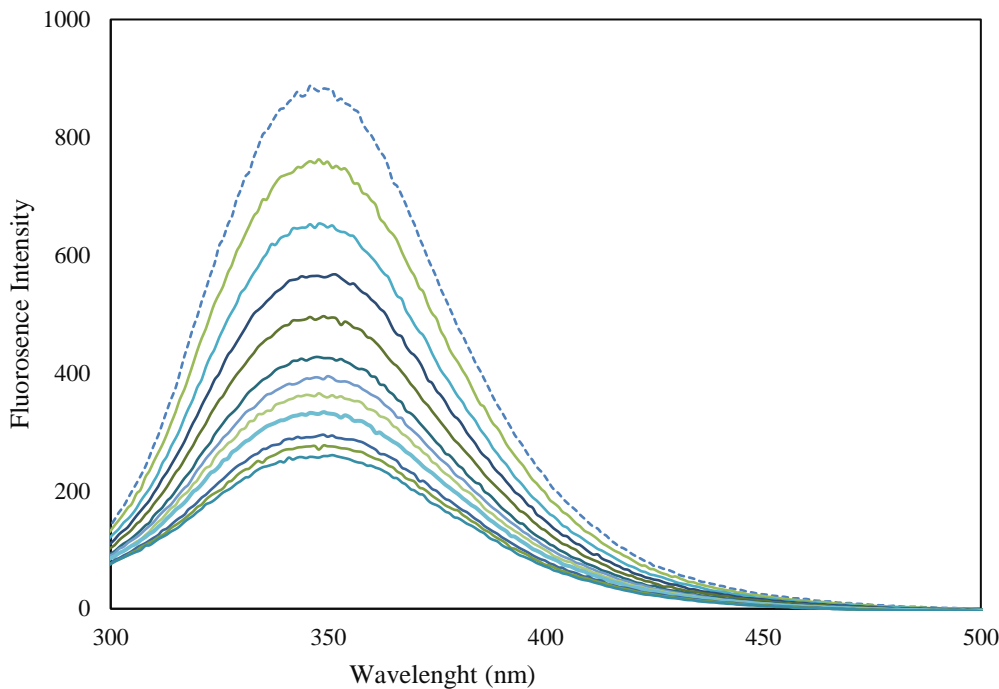
طیف جذب الکترونی پروتئین BSA در غیاب و حضور غلظت‌های متفاوتی از کمپلکس در شکل ۴ نشان داده شده است. پروتئین BSA دارای دو نوار جذبی در ناحیه ۲۲۰-۲۴۰ نانومتر و ۲۸۰ نانومتر، به ترتیب مربوط به نوار جذبی ساختاری پروتئین BSA و نوار جذبی آمینواسیدهای آروماتیک پروتئین BSA (تریپتوفان، فنیل آلانین و تیروزین) است. با افزایش غلظت‌های گوناگون از محلول کمپلکس به محلول BSA با غلظت ثابت، شدت نوار جذبی پروتئین BSA در ۲۲۰-۲۴۰ نانومتر کاهش می‌یابد و طول موج ماکزیمم جذب دچار تغییر می‌شود. همچنین، شدت نوار جذبی پروتئین BSA در ۲۸۰ نانومتر کاهش می‌یابد ولی طول موج ماکزیمم جذب بدون تغییر باقی می‌ماند. تغییر در طیف جذب الکترونی BSA در اثر افزایش کمپلکس، نشان از تغییر در صورت‌بندی پروتئین BSA و همچنین تغییر در قطبیت ریزمحیط‌های اطراف آمینواسیدهای پروتئین BSA دارد که ناشی از برهمنکنش بین پروتئین BSA و کمپلکس می‌باشد.



شکل ۴. طیف جذبی پروتئین BSA با افزایش غلظت کمپلکس

#### ۳-۳-۲- بررسی برهمنکنش کمپلکس با پروتئین BSA با استفاده از طیف سنجی نشری فلوئورسانس

طیف فلوئورسانس پروتئین BSA دارای یک نشر قوی در ناحیه ۳۳۹ نانومتر می‌باشد. با توجه به میزان تغییر در شدت نشر طیف فلوئورسانس در اثر افزایش کمپلکس، می‌توان به نوع مکانیسم و برهمنکنش بین کمپلکس و پروتئین BSA پی برد (شکل ۵).

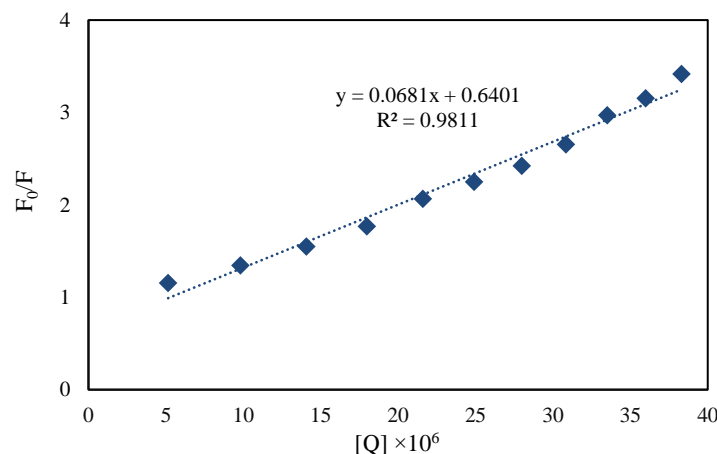


شکل ۵. طیف نشری BSA با افزایش غلظت کمپلکس

با استفاده از معادله خطی اشترن-والمر، مقدار ثابت خاموش‌سازی اشترن-والمر ( $K_{SV}$ ) با استفاده از معادله ۳ به دست می‌آید.

$$F_0/F = 1 + k_q \tau_0 [Q] = 1 + K_{SV} [Q] \quad \text{معادله ۳}$$

در این معادله،  $F_0$  و  $F$  به ترتیب، شدت نشر فلورسانس قبل و بعد از اختافه‌شدن کمپلکس (خاموش‌ساز)،  $[Q]$  غلظت کمپلکس (خاموش‌ساز) و  $K_{SV}$  مقدار ثابت خاموش‌سازی خطی اشترن-والمر می‌باشد. مقدار  $K_{SV}$  برابر با  $6.8 \times 10^{-4} \text{ M}^{-1}$  و نشان‌دهنده برهمکنش کمپلکس با BSA می‌باشد (شکل ۶).



شکل ۶. نمودار  $F_0/F$  نسبت به  $[Q]$

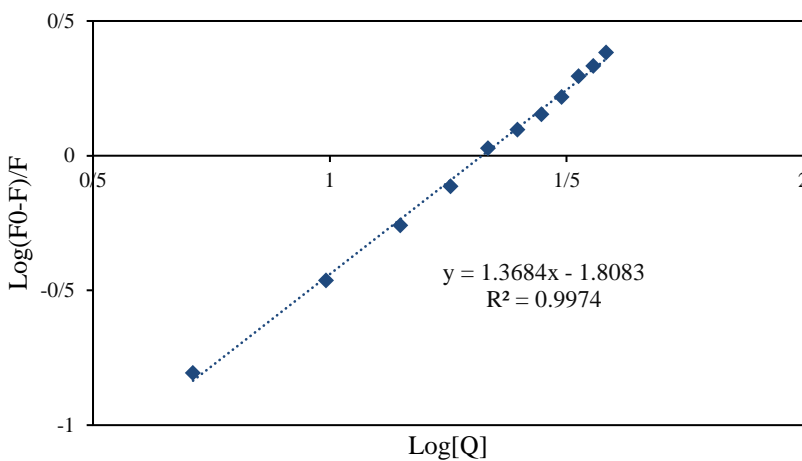
$k_q$ ، مقدار ثابت سرعت خاموش‌سازی مولکول‌های زیستی است که با استفاده از معادله ۴ بدست می‌آید. در این معادله،  $\tau_0$  طول عمر متوسط مولکول‌های زیستی است که مقدار آن برای پلیمرهای زیستی برابر با  $10^{-8}$  ثانیه می‌باشد.

$$k_q = K_{SV}/\tau_0 \quad \text{معادله ۴}$$

با استفاده از معادله ۴، مقدار  $k_q$  برای کمپلکس برابر با  $6/8 \times 10^{12} M^{-1}s^{-1}$  به دست آمد. با توجه به این‌که مقدار ثابت سرعت خاموش‌سازی مولکول‌های زیستی با مکانیسم دینامیک برابر با  $10^{-8} M^{-1}s^{-1}$  است، به دست آمدن مقادیر بزرگ‌تر از این مقدار نشان‌دهنده این است که مکانیسم برهمکنش از نوع استاتیک می‌باشد. هنگامی که ترکیب مورد نظر از طریق مکانیسم استاتیک با پروتئین BSA برهمکنش پیدا می‌کند، تعادلی میان مولکول آزاد و مولکول متصل شده برقرار می‌شود که به‌وسیله معادله اسکچارد (معادله ۵) بررسی می‌شود.

$$\log(F_0 - F)/F = \log K_b + n \log [Q] \quad \text{معادله ۵}$$

در این معادله  $K_b$  مربوط به ثابت پیوندی برهمکنش کمپلکس با پروتئین BSA است و  $n$  مربوط به تعداد مکان‌های پیوند دهنده در مولکول BSA می‌باشد. با رسم نمودار  $\log[(F_0 - F)/F]$  نسبت به  $\log [Q]$  (شکل ۷)، مقادیر  $K_b$  و  $n$  به ترتیب با استفاده از شبی نمودار و عرض از مبدأ نمودار محاسبه می‌شوند.



شکل ۷. نمودار  $\log[(F_0 - F)/F]$  نسبت به  $\log [Q]$

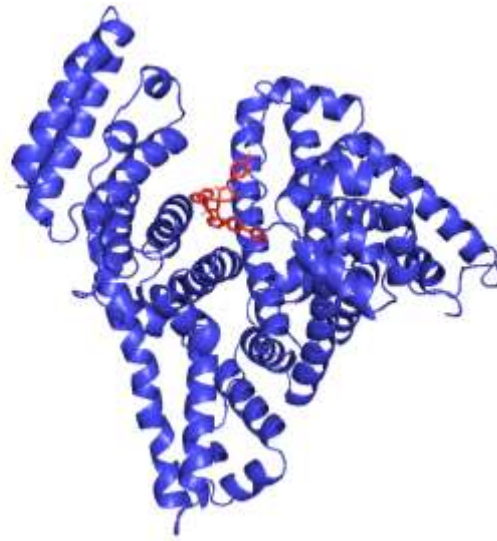
با توجه به نتایج، مشخص می‌شود که تقریباً یک مکان برهمکنش برای کمپلکس با مولکول BSA وجود دارد ( $n=1$ ). مقدار ثابت پیوندی برای کمپلکس با پروتئین BSA برابر با  $10^4 M^{-1} \times 1/5$  می‌باشد که این مقدار نشان‌دهنده برهمکنش خوب کمپلکس با پروتئین BSA است.

در مقایسه با مطالعاتی که پیش از این به‌وسیله این گروه [۲۷] و همچنین گروه‌های تحقیقاتی دیگر در این زمینه صورت گرفته‌است [۴۶-۴۴]، می‌توان به این نکته اشاره کرد که بدون شک ساختار الکترونی و فضایی کمپلکس اثر مهمی در نوع و

میزان برهمکنش با ماکرومولکول‌های زیستی را ایفا می‌کند [۴۷-۵۰]. به عنوان مثال، کمپلکس‌های دارای ساختار هندسی مسطح و یا مسطح انحراف یافته در اغلب موارد با ساختار DNA برهمکنش از نوع اینترکلیشن برقرار می‌کنند. همچنین، وجود حلقه‌های فنیل یا آریل امکان برقراری پیوند از نوع  $\pi-\pi$ -استکینگ را فراهم می‌آورد که به نوبه خود منجر به تقویت شدت برهمکنش با مولکول زیستی هدف خواهد شد.

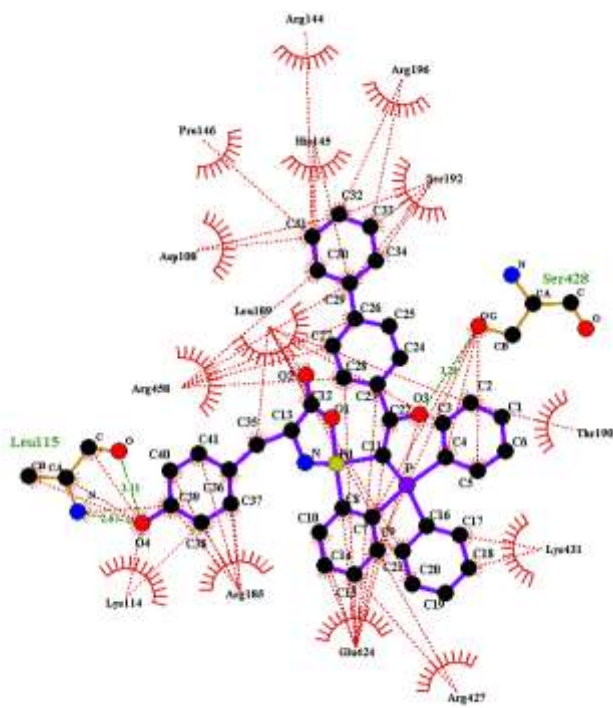
#### ۴-۳- محاسبات داکینگ مولکولی

داکینک مولکولی به عنوان یک روش مهم در شناسایی برهمکنش دارو و مولکول‌های حجمی زیستی به کار می‌رود. جهت درک بهتر برهمکنش کمپلکس سنتز شده با پروتئین BSA، در این تحقیق با استفاده از داکینگ مولکولی، صورت‌بندی‌های احتمالی ترکیب کمپلکس-پروتئین BSA مدل‌سازی گردید. انرژی پیوند پایدارترین صورت‌بندی مدل‌سازی شده در حدود -۹/۹۶ کیلوکالری بر مول محاسبه گردید (شکل ۸).



شکل ۸ نتایج داکینگ مولکولی: جهت گیری پایدارترین صورت‌بندی کمپلکس با پروتئین BSA

طبق نتایج به دست آمده از مطالعات داکینگ مولکولی، پیش‌بینی می‌شود پیوند کمپلکس به پروتئین BSA از طریق جایگاه‌های آب‌گریز مستقر بر روی حوزه IB در سایت III صورت پذیرد. نمای نزدیک برهمکنش کمپلکس و پروتئین BSA در شکل ۹ نشان‌دهنده برهمکنش کمپلکس با پروتئین BSA از طریق آمینواسیدهای Asp108, His145, Arg144, Arg196, Pro146, Arg190, Lys114, Arg427, Glu424, Arg458, Lys431, Ser192, Leu189, کمپلکس و پروتئین BSA از طریق آمینواسیدهای Leu115, Ser428 و Leu111 هیدروژنی برقرار شده است.



شکل ۹. نتایج داکینگ مولکولی: نمایش دو بعدی برهمکنش کمپلکس با آمینواسیدهای پروتئین BSA

۴- نتیجہ گیری

در این پژوهش، کمپلکس تک هسته‌ای C<sup>8</sup>-Cyclomaltoheptaose پالادیوم (II) فسفرایلید حاوی آمینواسید طبیعی تیروزین سنتز و با استفاده از روش‌های طیف‌سنجدی FT-IR و NMR شناسایی شد. در ادامه، برهمکنش کمپلکس تک هسته‌ای سیکلومالتاله پالادیوم (II) حاوی لیگاند تیروزین با ماکرومولکول‌های زیستی BSA و پروتئین DNA به‌وسیله تکنیک‌های طیف‌سنجدی مرئی-فرابنفش UV-Vis و نشر فلورسانس مورد مطالعه قرار گرفت. مطالعات نشان‌دهنده برهمکنش از نوع اینترکلیشن میان کمپلکس و DNA می‌باشد. نتایج بدست آمده از تکنیک‌های طیف‌سنجدی جذب مرئی-فرابنفش UV-Vis و نشر فلورسانس مؤید برهمنکنش قابل توجه میان پروتئین BSA می‌باشد. براساس نتایج حاصل از مطالعات داکینگ مولکولی، کمپلکس با پروتئین BSA به‌طور عمده از طریق جایگاه‌های آب‌گیری مستقر بر روی حوزه IB متعلق به سایت III اتصال می‌یابد.

۵- تقدیر و تشکر

پژوهشگران و فناوران کشور (INsf) صمیمانه قدردانی می‌نمایند.

۶- فهرست منابع و مأخذ

- [1] Deo, S. V. S., Sharma, J., & Kumar, S. (2022). GLOBOCAN 2020 report on global cancer burden: challenges and opportunities for surgical oncologists. *Annals of Surgical Oncology*, 29(11), 6497-6500.

- [2] Galanski, M., Jakupc, M. A., & Keppler, B. K. (2005). Update of the preclinical situation of anticancer platinum complexes: novel design strategies and innovative analytical approaches. *Current Medicinal Chemistry*, 12(18), 2075-2094.
- [3] Jung, Y., & Lippard, S. J. (2007). Direct cellular responses to platinum-induced DNA damage. *Chemical Reviews*, 107(5), 1387-1407.
- [4] Lee, S. Y., Kim, C. Y., & Nam, T. -G. (2020). Ruthenium complexes as anticancer agents: A brief history and perspectives. *Drug Design, Development and Therapy*, 5375-5392.
- [5] Muhammad, N., & Guo, Z. (2014). Metal-based anticancer chemotherapeutic agents. *Current Opinion in Chemical Biology*, 19, 144-153.
- [6] Mohammadi, N., Abedanzadeh, S., Fereidonnejad, R., Mahdavinia, M., & Fereidoonnehad, M. (2023). Effects of diphosphine ligands on the anticancer behavior of cycloplatinated (II) complexes of 2, 2'-Bipyridine N-Oxide: in vitro cytotoxicity, apoptosis, genotoxicity, and molecular docking studies. *Journal of Organometallic Chemistry*, 122759.
- [7] Fereidoonnehad, M., Shahsavari, H. R., Abedanzadeh, S., Nezafati, A., Khazali, A., Mastrorilli, P., Babaghasabha, M., Webb, J., Faghah, Z., Faghah, Z., Bahemmat S., & Beyzavi, M. H. (2018). Synthesis, structural characterization, biological evaluation and molecular docking studies of new platinum (ii) complexes containing isocyanides. *New Journal of Chemistry*, 42(11), 8681-8692.
- [8] Sakamaki, Y., Ahmadi Mirsadeghi, H., Fereidoonnehad, M., Mirzaei, F., Moghimi Dehkordi, Z., Chamyani, S., Alshami, M., Abedanzadeh, S., Shahsavari, H. R. & Beyzavi, M. H. (2019). trans-platinum (II) thionate complexes: synthesis, structural characterization, and in vitro biological assessment as potent anticancer agents. *ChemPlusChem*, 84(10), 1525-1535.
- [9] Carneiro, T. J., Martins, A. S., Marques, M. P. M. & Gil, A. M. (2020). Metabolic aspects of palladium (II) potential anti-cancer drugs. *Frontiers in Oncology*, 10, 590970.
- [10] Lazarević, T., Rilak, A., & Bugarčić, Ž. D. (2017). Platinum, palladium, gold and ruthenium complexes as anticancer agents: Current clinical uses, cytotoxicity studies and future perspectives. *European Journal of Medicinal Chemistry*, 142, 8-31.
- [11] Vojtek, M., Marques, M. P. M., Ferreira, I. M. P. L. V. O., Mota-Filipe, H., & Diniz, C. (2019). Anticancer activity of palladium-based complexes against triple-negative breast cancer. *Drug Discovery Today*, 24(4), 1044-1058.
- [12] Kapdi, A. R., & Fairlamb, I. J. (2014). Anti-cancer palladium complexes: a focus on  $PdX_2L_2$ , palladacycles and related complexes. *Chemical Society Reviews*, 43(13), 4751-4777.
- [13] Karami, K., Abedanzadeh, S., Yadollahi, F., Büyükgüngör, O., Farrokhpour, H., Rizzoli, C., & Lipkowski, J. (2015). Mono-and binuclear orthopalladated complexes of phosphorus ylides containing nitrogen, phosphorus or bridging diphosphine ligands: Self-assembly, theoretical calculations and comparative catalytic activity. *Journal of Organometallic Chemistry*, 781, 35-46.
- [14] Jamali, S., Abedanzadeh, S., Khaledi, N. K., Samouei, H., Hendi, Z., Zacchini, S., Kia, R., &

- Shahsavari, H. R. (2016). A cooperative pathway for water activation using a bimetallic Pt 0–Cu I system. *Dalton Transactions*, 45(44), 17644-17651.
- [15] Karami, K., Abedanzadeh, S., Farrokhpour, H., & Lipkowski, J. (2016). Synthesis and characterization of the P, C-palladacycles with bridging and chelating dinitrogen ligands and ONIOM calculations on the pyrazine-bridged organometallic polymers (n= 1 to n= 10). *Journal of Organometallic Chemistry*, 805, 68-76.
- [16] Shahsavari, H. R., Lalinde, E., Moreno, M. T., Niazi, M., Kazemi, S. H., Abedanzadeh, S., Barazandeh, M., & Halvagar, M. R. (2019). Half-lantern cyclometalated Pt (ii) and Pt (iii) complexes with bridging heterocyclic thiolate ligands: synthesis, structural characterization, and electrochemical and photophysical properties. *New Journal of Chemistry*, 43(20), 7716-7724.
- [17] Beletskaya, I. P., & Cheprakov, A. V. (2004). Palladacycles in catalysis— a critical survey. *Journal of Organometallic Chemistry*, 689(24), 4055-4082.
- [18] Dupont, J., Consorti, C. S., & Spencer, J. (2005). The potential of palladacycles: more than just precatalysts. *Chemical Reviews*, 105(6), 2527-2572.
- [19] Herrmann, W. A., Öfele, K., Preysing, D. v., & Schneider S. K. (2003). Phospha-palladacycles and N-heterocyclic carbene palladium complexes: efficient catalysts for CC-coupling reactions. *Journal of Organometallic Chemistry*, 687(2), 229-248.
- [20] Karami, K., Abedanzadeh, S., & Hervés, P. (2016). Synthesis and characterization of functionalized titania-supported Pd catalyst deriving from new orthopalladated complex of benzophenone imine: catalytic activity in the copper-free Sonogashira cross-coupling reactions at low palladium loadings. *RSC Advances*, 6(96), 93660-93672.
- [21] Jamali, S., & Abedanzadeh, S. (2018). Organoplatinum (II) complexes containing bis-(N-heterocyclic carbene) ligands: Catalytic activity in hydrosilylation of  $\alpha$ ,  $\beta$ -unsaturated ketones. *Applied Chemistry*, 13(46), 295-310. (in Persian)
- [22] Karami, K., Esfarjani, S., Abedanzadeh, S., & Lipkowski, J. (2014). P, C-palladacycle complexes of triphenylphosphite: Synthesis, characterization and catalytic activity in the Suzuki cross-coupling reaction. *Polyhedron*, 68, 249-257.
- [23] Alonso, D. A., & Najera, C. (2010). Oxime-derived palladacycles as source of palladium nanoparticles. *Chemical Society Reviews*, 39(8), 2891-2902.
- [24] Karami, K., Abedanzadeh, S., Vahidnia, O., Herves, P., Lipkowski, J., & Lyczko, K. (2017). Orthopalladated complexes of phosphorus ylide: Poly (N-vinyl-2-pyrrolidone)-stabilized palladium nanoparticles as reusable heterogeneous catalyst for Suzuki and Heck cross-coupling reactions. *Applied Organometallic Chemistry*, 31(11), e3768.
- [25] Jain, V.K. (2021). Cyclometalated group-16 compounds of palladium and platinum: Challenges and opportunities. *Coordination Chemistry Reviews*, 427, 213546.
- [26] Cutillas, N., Yellol, G. S., de Haro, C., Vicente, C., Rodríguez, V., & Ruiz, J. (2013). Anticancer

cyclometalated complexes of platinum group metals and gold. *Coordination Chemistry Reviews*, 257(19-20), 2784-2797.

- [27] Abedanzadeh, S., Karami, K., Rahimi, M., Edalati M., Abedanzadeh, M., Tamaddon, A. M., Dehdashti Jahromi M., Amirghofran, Z., Lipkowskif J., & Lyczkog K. (2020). Potent cyclometallated Pd (II) antitumor complexes bearing  $\alpha$ -amino acids: synthesis, structural characterization, DNA/BSA binding, cytotoxicity and molecular dynamics simulation. *Dalton Transactions*, 49(42), 14891-14907.
- [28] Rúa-Sueiro, M., Munín-Cruz, P., Fernández, A., Ortigueira, J. M., Pereira, M. T., & Vila, J. M. (2022). Cyclometallated palladium (II) complexes: An approach to the first dinuclear bis(iminophosphorane) phosphane-[C, N, S] metallacycle. *Molecules*, 27(20), 7043.
- [29] Geyl, K. K., Baykov, S. V., Kasatkina, S. O., Savko, P. Y., & Boyarskiy, V. P. (2022). Reaction of coordinated isocyanides with substituted N-(2-pyridyl) ureas as a route to new cyclometallated Pd (II) complexes. *Journal of Organometallic Chemistry*, 980, 122518.
- [30] Albrecht, A. (2010). Cyclometalation using d-block transition metals: fundamental aspects and recent trends. *Chemical Review*, 110(2), 576–623
- [31] Urriolabeitia, E. P., (2010). Ylide ligands. Transition metal complexes of neutral metal-carbon ligands (Vol. 30), 15-48.
- [32] Liu, H. -K., & Sadler P., (2011). Metal complexes as DNA intercalators. *Accounts of Chemical Research*, 44(5), 349–359.
- [33] Komora, A. C., & Barton, J. K. (2013). The path for metal complexes to a DNA target. *Chemical Communication*, 49, 3617-3630.
- [34] Bruijnincx, P. C., & Sadler, P. J. (2008). New trends for metal complexes with anticancer activity. *Current Opinion in Chemical Biology*, 12(2), 197-206.
- [35] Sudlow, G., Birkett, D., & Wade, D. (1975). The characterization of two specific drug binding sites on human serum albumin. *Molecular Pharmacology*, 11(6), 824-832.
- [36] Scattolin, T., Voloshkin, V. A., Visentin, F., & Nolan, S. P. (2021). A critical review of palladium organometallic anticancer agents. *Cell Reports Physical Science*, 2(6), 100446.
- [37] Karami, K., Rizzoli, C., & Borzooie, F. (2011). Orthopalladation of phosphorus ylides in endo position with bidentate ligands. *Polyhedron*, 30(5), 778-784.
- [38] Morris, G. M., Huey, R., Lindstrom, W., Sanner, M. F., Belew, R. K., Goodsell, D. S., & Olson A. J. (2009). AutoDock4 and AutoDockTools4: Automated docking with selective receptor flexibility. *Journal of Computational Chemistry*, 30(16), 2785-2791.
- [39] Berman, H. M., Westbrook, J., Feng, Z., Gilliland, G., Bhat, T. N., Weissig, H. I., Shindyalov, N., & Bourne, P. E. (2006). The protein data bank, 1999–.
- [40] Froimowitz, M. (1993). HyperChem: a software package for computational chemistry and molecular modeling. *Biotechniques*, 14(6), 1010-1013.
- [41] Wolber, G., Dornhofer, A. A., & Langer, T. (2006). Efficient overlay of small organic molecules

- using 3D pharmacophores. *Journal of Computer-Aided Molecular Design*, 20(12), 773-788.
- [42] Aguilar, D., Aragüés, M. A., Bielsa, R., Serrano, E., Soler, T., Navarro, R., & Urriolabeitia, E. P. (2008). Synthesis and structure of orthopalladated complexes derived from prochiral iminophosphoranes and phosphorus ylides. *Journal of Organometallic Chemistry*, 693(3), 417-424.
- [43] Boerner, L. J. K., & Zaleski, J. M. (2005). Metal complex–DNA interactions: from transcription inhibition to photoactivated cleavage. *Current Opinion in Chemical Biology*, 9(2), 135-144.
- [44] Jurgens, S., Kuhn, F. E., & Casini, A. (2018). Cyclometalated complexes of platinum and gold with biological properties: state-of-the-art and future perspectives. *Current Medicinal Chemistry*, 25(4), 437-461.
- [45] Sindhu, M., Kalaivani, P., & Prabhakaran, R. (2022). Enhanced anticancer property of bio-organometallic nano composites: Design, characterization, and biological evaluation. *Applied Organometallic Chemistry*, 36(1), e6488.
- [46] Khater, M., Brazier, J. A., Greco, F., & Osborn, H. M. (2023). Anticancer evaluation of new organometallic ruthenium (II) flavone complexes. *RSC Medicinal Chemistry*, 14(2), 253-267.
- [47] Omae, I. (2014). Applications of five-membered ring products of cyclometalation reactions as anticancer agents. *Coordination Chemistry Reviews*, 280, 84-95.
- [48] Liu, H. K., & Sadler, P. J. (2011). Metal complexes as DNA intercalators. *Accounts of Chemical Research*, 44(5), 349-359.
- [49] Habibi Shabestary, B., & Golbon Haghghi, M. (2023). Synthesis, Characterization and DNA binding studies of Platinum Complexes with Imine Ferrocene Ligand. *Applied Chemistry*, 18(66), 225-240. (in Persian)
- [50] Movahedi, E., Razmazma, H., Rezvani, A., & Nowroozi, A., (2021). Synthesis, characterization, and evaluation of the interaction of DNA with a new silver(I) complex with diazafluorene-based ligands: Experimental and theoretical studies. *Applied Chemistry*, 16(59), 32-50. (in Persian)

